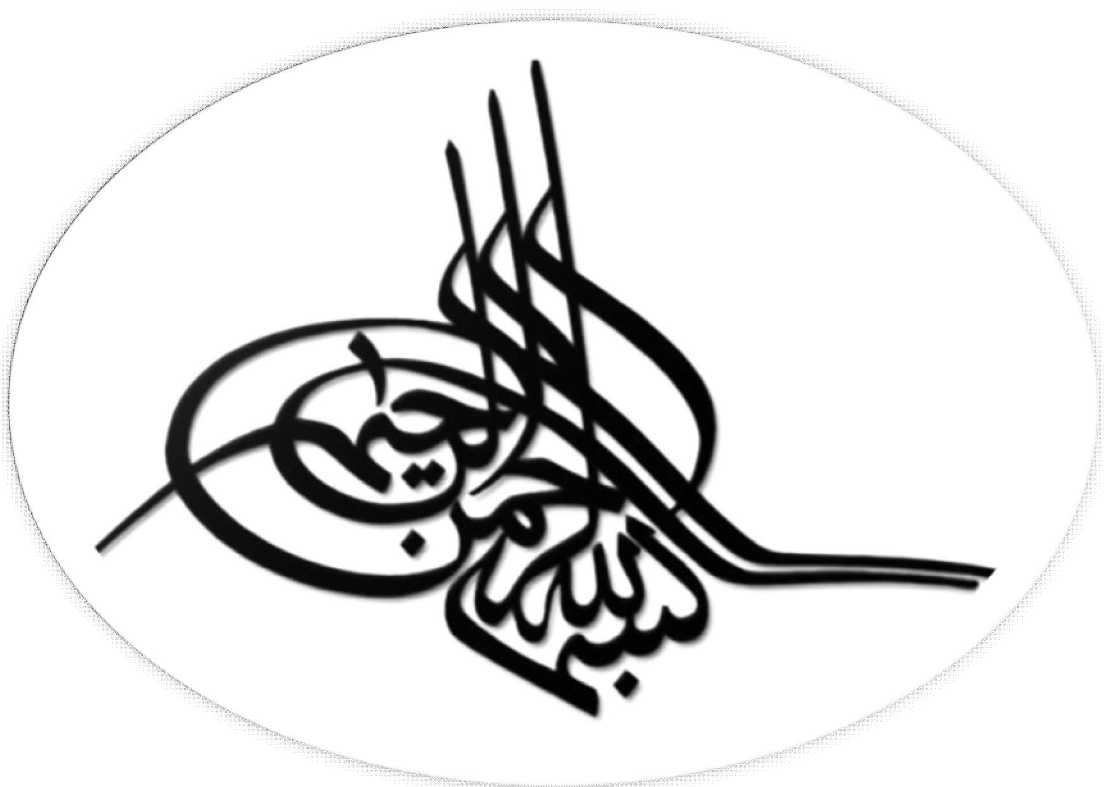


کد رهگیری ثبت پروپوزال: 1084369

کد رهگیری ثبت پایان نامه: 2113402



کلیه امتیازهای این پایان‌نامه به دانشگاه بوعلی سینا تعلق دارد. در صورت استفاده از تمام یا بخشی از مطالب این پایان‌نامه در مجلات، کنفرانس‌ها و یا سخنرانی‌ها، باید نام دانشگاه بوعلی سینا و استاد راهنمای پایان‌نامه و نام دانشجو با ذکر مأخذ و ضمن کسب مجوز کتبی از دفتر تحصیلات تكمیلی دانشگاه ثبت شود. در غیر این صورت مورد پیگرد قانونی قرار خواهد گرفت. درج آدرس‌های ذیل در کلیه مقالات خارجی و داخلی مستخرج از تمام یا بخشی از مطالب این پایان‌نامه در مجلات، کنفرانس‌ها و یا سخنرانی‌ها الزامی می‌باشد.

....., Bu-Ali Sina University, Hamedan, Iran.

مقالات خارجی

.....، گروه، دانشکده، دانشگاه بوعلی سینا، همدان.

مقالات داخلی



پایان نامه برای دریافت درجه کارشناسی ارشد در رشته فیزیک گرایش حالت جامد

عنوان:

بررسی مورفولوژی ردپاهای ذرات آلفا در آشکارساز ردپای هسته‌ای پلیمری
حالت جامد با استفاده از میکروسکوپ نیروی اتمی

اساتید راهنما:

دکتر بابک ژاله

دکتر مهدی فرشچی

اساتید مشاور:

دکتر قاسم فروزانی

مهندس مهران طاهری

نگارش:

مهاباد مظہری

صورت جلسه دفاع از پایان نامه کارشناسی ارشد

پایان نامه کارشناسی ارشد پرسته فیزیک گرایش حالت جامد

با عنوان:

بررسی مورفولوژی ردها در آشکارساز ردهای هسته‌ای پلیمری حالت جامد با استفاده از میکروسکوپ نیروی اتمی

جلسه دفاع از پایان نامه خانم مهاباد مظہری
روز دوشنبه مورخ ۱۳۹۲/۰۳/۰۶ ساعت ۱۱ در محل آمفی تئاتر ۲
دانشکده علوم پایه در
حضور هیأت داوران برگزار گردید که پس از بررسی‌های لازم پایان نامه نامبرده
با نمره به عدد ۱۷ مورد ارزیابی قرار گرفت.
خوب ۵۶ به حروف

ردیف	نام و نام خانوادگی	سمت	مرتبه علمی	امضاء
۱	دکتر بابک زاله	استاد راهنمای	دانشیار	
۲	دکتر مهدی فرشچی	استاد راهنمای	استاد دیار	
۳	دکتر قاسم فروزانی	استاد مشاور	دانشیار	
۴	مهندس مهران طاهری	استاد مشاور	-	
۵	دکتر داود رئوفی	داور داخلی/خارجی	استاد دیار	
۶	دکتر صدر حبیبی	داور داخلی/خارجی	استاد دیار	
۷	دکتر فرهاد آلیانی	مسئول تحصیلات تكمیلی دانشکده	دانشیار	

تیتمه:

ہمہ مردم

پہ پاس صہر و مرحناش و فرشتہ گلندم

آرڈن

۶۰

سپاس ای کهان پروردگار یکتا را کجهه ای ماینه شید و به طیرق علم و دانش رسنگ و نمان شد و پیشگزینی رهروان علم و دانش هست سران نبر و دو خوشبختی ن
از علم و معرفت را روزی مان ساخت.

در آغاز از اندیشیدن بزرگوارم جناب آقای دکتر بایک زاله و دکتر محمدی پھر ای به حاضر زحات ای درخشنان نیات سپاس و قدر طافی را دارم.



دانشگاه بوعلی سینا

دانشگاه بوعلی سینا

مشخصات رساله/پایان نامه تحصیلی

عنوان:

بررسی مورفولوژی ردپاهای ذرات آلفا در آشکارساز ردپایی هسته‌ای پلیمری حالت جامد با استفاده از میکروسکوپ نیروی اتمی

نام نویسنده: مهاباد مظہری

نام استاد/استادی راهنمای: دکتر بابک ژاله، دکتر مهدی فرشچی

نام استاد/استادی مشاور: دکتر قاسم فروزانی، مهندس مهران طاهری

دانشکده: علوم پایه

رشته تحصیلی: فیزیک

مقطع تحصیلی: کارشناسی ارشد

تاریخ تصویب پروپوزال: ۱۳۸۹/۱۲/۱۶

تاریخ دفاع: ۱۳۹۱/۳/۶

چکیده:

ذرات باردار پرانرژی فرودی بر سطح آشکارساز پلیمری در مسیر عبورشان ردپای نهان تولید می‌کنند. فرآیند خورش شیمیایی به مشاهده ردپاهای کمک می‌کند. یکی از کارهای چالش برانگیز در استفاده از آشکارسازهای ردپایی هسته‌ای اندازه‌گیری قطر ردپاهای به خصوص کم عمق ناشی از خورش‌های با زمان کوتاه است. در این پایان نامه ابتدا ردپاهای توسط پرتودهی آشکارساز CR-39، با پرتوهای آلفا تهیه می‌شوند، سپس آشکارسازهای پرتودهی شده در محلول 9 N KOH به مدت ۱ ساعت در دمای 70°C خورش می‌شوند و نهایتاً قطر ردپاهای توسط میکروسکوپ نیروی اتمی (AFM) اندازه‌گیری می‌شوند.

واژه‌های کلیدی: ردپا، CR-39، خورش شیمیایی، ذرات آلفا، میکروسکوپ نیروی اتمی

فهرست جداول

جدول 1-1- برخی از ویژگی های منابع مشهور رادیو ایزوتوب ذرات آلفا	13
جدول 1-2- خلاصهای از مواد به کار رفته در آشکارسازی اثر ردپا.....	22
جدول 1-3- فاصله و زمان لازم برای شار-زمان α/cm^2 و انرژی متناظر با هر فاصله در دمای ${}^{\circ}C$	75
	27

فهرست شکل ها

..... ۱۲	شکل ۱-۱- طیف انرژی واپاشی آلفا ز برای ^{238}Pu
..... ۲۰	شکل ۱-۲- برش محوری از ردپای نهان در یک بلور (Hansen et al. 1983)
..... ۲۰	شکل ۱-۳- طرحواره ای از قطع زنجیره های پلیمری که به علت عبور ذره باردار سنگین ایجاد شده است.
..... ۲۹	شکل ۱-۴- طرحواره ای از خورش شیمیایی
..... ۳۰	شکل ۱-۵- طرحواره ای از خورش الکتروشیمیایی
..... ۳۱	شکل ۱-۶- (a) ردپاهای یونی در CR-39
..... ۳۲	شکل ۱-۷- طرح یک ردپا در آشکارساز ردپای هسته ای
..... ۷۰	شکل ۱-۸- ردپای ذرات آلفای خورش شده در آشکارساز CR-39 با محلول ۶ نرمال NaOH و دمای ${}^{\circ}\text{C}$
..... ۳۲	، ۶ ساعت خورش.
..... ۳۵	شکل ۱-۹- هندسه ردپا در شرایط با زوایای مختلف
..... ۳۶	شکل ۱-۱۰- هندسه یک ردپا برای یک ذره باردار که بطور عمودی وارد آشکارساز ردپای هسته ای می شود.
..... ۴۰	شکل ۱-۱۱- هندسه ردپا برای ذرهای که بطور مایل وارد آشکارساز ردپای هسته ای می شود
..... ۴۱	شکل ۱-۱۲- ساختار مونومر CR-39
..... ۴۸	شکل ۱-۱۳- تصویری از میکروسکوپ نیروی اتمی.
..... ۴۹	شکل ۲-۱- منحنی نیروی وارد بر سوزن بر حسب فاصله سوزن از سطح.
..... ۵۰	شکل ۲-۲- اندازه گیری تغییرات بازو با استفاده از پرتوی لیزر
..... ۵۲	شکل ۲-۳- طرحواره حلقه بازخوردی میکروسکوپ نیروی اتمی
..... ۵۳	شکل ۲-۴- تصویر طرحواری از پیزوالکتریک.
..... ۵۴	شکل ۲-۵- طرحواره آشکارسازی بازو
..... ۵۵	شکل ۲-۶- نمونه ای از بازو های (الف) بازو مثلثی (ب) تخت گونه
..... ۵۶	شکل ۲-۷- انواع شکل های سوزن شامل نوک کروی، نوک تخت، نوک T شکل و نوک تیز.
..... ۵۸	شکل ۲-۸- سمت چپ: نمایش طرحواره بزرگی تغییرات نیروی بین سوزن و سطح در فواصل مختلف سوزن از سطح سمت راست: انحراف بازو حین رفت و برگشت در نواحی مختلف فاصله از سطح (نیروی جاذبه یا دافعه).

..... شکل ۱۰-۲ - نمودار نیرو برحسب فاصله که مدهای مختلفی در آن قرار دارند	۵۹
..... شکل ۱۱-۲ - طرحواره ای مد تماسی	۶۰
..... شکل ۱۲-۲ - دامنه نوسانات بازو در مد شبه تماسی.	۶۱
..... شکل ۱-۳ - طیف FTIR فیلمهای CR-39 با ضخامت های متفاوت [۶۳].	۶۹
..... شکل ۲-۳ - طرحواره ای از آرایه پرتودهی آشکارساز	۷۱
..... شکل ۳-۳ - طرحواره ای از طیف سنج آلفا	۷۲
..... شکل ۴-۳ - طیف سنج استفاده شده در این پروژه	۷۳
..... شکل ۵-۳ - زمان لازم برای پرتودهی در فاصله متناظر و شار-زمان α/cm^2	۷۴
..... شکل ۶-۳ - انرژی ذرات آلفا بر حسب فاصله از آشکارساز سد سطحی در هوای در دمای $27^{\circ}C$	۷۴
..... شکل ۷-۳ - طیف ذرات آلفای مربوط به چشم ^{241}Am در خلاء	۷۶
..... شکل ۸-۳ - طیف ذرات آلفا در هوای فاصله آشکارساز سد سطحی و چشم ^{241}Am ، ۱۹ mm	۷۶
..... شکل ۹-۳ - تغییرات قطر متوسط ردپاهای نسبت به انرژی ذرات آلفا در شرایط دمایی $60^{\circ}C$ و غلظت و زمان خورش متغیر	۷۸
..... شکل ۱۰-۳ - قطر میانگین ردپاهای انرژی های مختلف برای آشکارساز CR-39	۷۹
..... شکل ۱۱-۳ - میکرو تصاویر سه بعدی AFM در اندازه $10\text{ }\mu m \times 10\text{ }\mu m$ (۵۱۲×۵۱۲) Pixel. (الف) انرژی ذرات آلفا $1MeV$ (ب) انرژی ذرات آلفا $2 MeV$ (ج) انرژی ذرات آلفا $3 MeV$ (د) انرژی ذرات آلفا $4 MeV$. (محل یکی از ردپاهای ذرات آلفا به طور نمونه در شکل با علامت پیکان مشخص شده است)	۸۵
..... شکل ۱۳-۳ - تغییر میانگین ناهمواری سطح با تغییر انرژی در CR-39	۸۷

فهرست مطالب

1.....	مقدمه
11.....	1-1- فیزیک برهمکنش ذرات باردار سنگین با ماده
11.....	2-1- واپاشی آلفا
13.....	3-1- برهمکنش ذرات آلفا با آشکارسازهای ردپای هسته ای
16.....	4-1- آشکارسازهای ردپای هستهای
22.....	5-1- مکانیسم شکل گیری ردپا
22.....	1-5-1- اتلاف انرژی کل (dE/dX)
24.....	2-5-1- اتلاف یونیزاسیون اولیه (J)
25.....	3-5-1- اتلاف انرژی باقیمانده (REL)
26.....	6-1- سازوکار تخریب پرتوشیمیایی
27.....	1-6-1- ویژگی های خورش ردپای ذرات باردار در پلیمر
29.....	2-6-1- روش های مشاهده و آشکارسازی ردپا
31.....	7-1- سرعت خورش کپ های
33.....	1-7-1- روش تغییر ضخامت
34.....	3-7-1- روش تغییر در جرم آشکارساز
34.....	8-1- زاویه بحرانی خورش (θ_c) و راندمان ثبت (η)
36.....	9-1- هندسه ردپا در برخوردهای عمودی
38.....	10-1- هندسه ردپا در برخوردهای مایل
40.....	11-1- فرآیند شیمیایی خورش در پلیمرها
41.....	11-1-1- فرآیند شیمیایی خورش در پلی آلیل دی گلیکول کربنات $(CR-39)$
47.....	1-2- میکروسکوپ نیروی اتمی (AFM)
51.....	1-1-2- حلقه بازخوردی
52.....	2-1-2- روبشگر پیزوالکتریک

53	- آشکارسازی و جهت گیری بازو	3-1-2
54	- هندسه بازو	4-1-2
55	- سوزن ها	5-1-2
57	- نحوه برهمکنش سوزن با سطح	6-1-2
58	- مدهای مختلف میکروسکوپ نیروی اتمی	2-2
59	- مد تماسی	1-2-2
60	- مد غیرتماسی	2-2-2
61	- مد شبه تماسی	3-2-2
63	- کاربردهای AFM	3-2
63	- مطالعه فرآیندهای اصطکاکی و تحول ادوات تحت اصطکاک در ابعاد نانومتر	1-3-2
64	- متالورژی و خوردگی ادوات	2-3-2
64	- غشاها و فیلترها	3-3-2
65	- کاربرد AFM در آشکارسازهای ردپای هستهای	4-3-2
69	- مقدمه	1-3
69	- روش آزمایش مربوط به پرتودهی CR-39 با ذرات آلفا	2-3
69	- آماده سازی آشکارساز ردپای هستهای CR-39	1-2-3
70	- پرتودهی با ذرات آلفا	2-2-3
77	- بهینه سازی خورش CR-39 و تولید ردپاهای ذرات آلفای زیرمیکرونی	3-2-3
80	- معایب استفاده از میکروسکوپ های نوری و الکترونی SEM و TEM در مقایسه با AFM در بررسی مورفولوژی CR-39 خورش شده	4-2-3
83	- مطالعه سطح نمونه های پردازش شده با میکروسکوپ نیروی اتمی (AFM)	3-3
87	- نتیجه گیری	

دی. ای. یانگ^۱ اولین کسی بود که ردپاهای LiF را در بلورهای LiF مشاهده کرد [۱]. پس از او سیلک و بارنز ردپاهای ذرات باردار سنگین را در میکا با استفاده از میکروسکوپ الکترونی عبوری بهطور مستقیم مشاهده کردند [۲]. پیشگامان علم آشکارسازهای ردپاهای هسته‌ای، پرایس^۲، والکر^۳ و فلیشر^۴ پیشرفتهای گسترده‌ای در زمینه مشاهده ردپاهای هسته‌ای در بلورها، پلاستیک‌ها و شیشه‌های دی الکتریک جامد داشتند [۳].

هم‌اکنون نزدیک به پنجاه سال از زمانی که دی. ای. یانگ اولین ردپاهای را در فلورید لیتیم و خورش ردپاهای را با استفاده از یک واکنشگر شیمیایی برای ثبت حفره‌های کم‌عمق کشف کرد، می‌گذرد. از آن زمان عبور ذرات هسته‌ای با استفاده از خورش ردپا با جهت‌گیری خاص در بیش از ۱۵۰ عایق جامد شامل کانی‌ها، شیشه‌ها و پلاستیک‌ها، مشخص شده است که اصطلاحاً به آنها آشکارسازهای ردپای هسته‌ای می‌گویند که ابزاری بسیار سودمند در علوم و تکنولوژی هسته‌ای به شمار می‌رود. همه مواد پلاستیکی قادر به ثبت ذرات نیستند، به جز آنهایی که نسبت به شیشه‌ها و کانیها حساسیت بیشتر و ویژگی‌های خورشی مناسبی را دارا می‌باشند. یکی از ویژگی‌های تمامی آشکارسازهای ردپای هسته‌ای قابلیت انتخابی بالای آنها در ثبت تابش‌ها می‌باشد. آنها نسبت به نور، پرتوهای ایکس و الکترون‌ها حساس نیستند اما ردپاهای ذرات هسته‌ای با مقدار یونش بیشتر از حد آستانه را ثبت می‌کنند. آهنگ یونش با بار هسته ذره و بهطور معکوس با سرعت نسبیتی آن متناسب است. از این‌رو مقدار آستانه Z/β برای لگزان حدود ۵۷ و برای نیترات سلوژ ۳۰ می‌باشد [۴].

^۱ D.A. Young

^۲ Price

^۳ Walker

^۴ Fleischer

در 1978 کارت، رایت، شیرک و پرایس، در دانشگاه کالیفرنیا در بریکلی، پلاستیکی حساس به دما را کشف کردند که نام تجاری آن CR-39 می‌باشد. پلی آلیل دی گلیکول کربنات، یک اشکارساز ردپای هسته‌ای حالت جامد است، CR حروف اول Colombia Resin می‌باشد[5].

CR-39 ردپاهای هسته‌ای با $Z/\beta > 6$ را ثبت می‌کند. بدین معنی که همه ذرات آلفای طبیعی و پروتون‌های تا انرژی 18 MeV را ثبت می‌کند. بهدلیل این ویژگی‌هاست که CR-39 رشد بسیار سریعی در همه زمینه‌های علوم از جمله پزشکی و محافظت اشعه دارد. CR-39 همچنین کاربردهای گسترده‌ای در ساخت شیشه‌های عینک ولنزهای اپتیکی دارد[4].

بهدلیل ویژگی‌های منحصر به فرد آشکارسازهای ردپای هسته‌ای مانند وزن کم آن‌ها، سادگی و قابلیت انعطاف آن‌ها و توانایی آن‌ها در آشکار کردن ذرات باردار سریع، در زمینه‌های خاصی از فیزیک، مزیت‌های بیشتری نسبت به سایر آشکارسازها دارند[6].

و همکارانش در سال 1986 از آشکارساز CR-39 برای دوزیمتری در معادن استفاده کردند. تعداد ردپاهای ذرات آلفای ثبت شده متناسب با غلظت گاز رادون می‌باشد[7].

و همکارانش در 1988 از CR-39 برای دوزیمتری ذرات آلفای محیطی استفاده کردند و A. Waheed یک روش ساده برای محاسبه احتمال توزیع ثبت ذرات بدست آوردند. سپس نتایج ثبت ذرات آلفا در CR-39 را با محاسبات خود مقایسه کردند و یک مقدار ماکسیمم $4.95 \times 10^3 \text{ cm}^2 \text{ hour}$ سرعت ثبت ذرات برای CR-39 بدست آوردند و تخمین زدند که 1 track/cm^2 معادل با $1.14 \times 10^{10} \text{ m}^{-3}$ فروپاشی ذرات آلفا در جو می‌باشد[8].

و همکارانش در 1991، محاسباتی را برای ارتباط پارامترهای هندسی ردپا، انرژی و ذرات باردار بیان کردند. شکل ردپای ذرات آلفا در طول خورش شیمیایی مورد مطالعه قرار گرفت و نیز شبیه سازی تحول ردپا با احتساب شرایط خورش شیمیایی و انرژی و زاویه فرود انجام گرفت [9].

در سال 1991 آشکارسازهای CR-39 را در معرض تابش آلفا در 1/3 MeV تا 5/5 MeV محدوده انرژی و زاویه از 0 تا 85 درجه قرار دادند. پاسخ آشکارسازها به انرژی و تکانه ذرات مورد بررسی قرار گرفت و دستاورد آن آشکارسازی رادون مورد بحث قرار گرفت [10].

و همکارانش در 1991 سطح ورقه های آشکارساز CR-39 را که تحت خورش الکتروشیمیایی قرار گرفتند، با استفاده از یک سیستم الکترونیکی اپتیکی مورد مطالعه قرار دادند [11].

در سال 1993 نمونه های CR-39 را تحت تابش عمودی ذرات آلفا با 5 تا 8 MeV محدوده های انرژی قرار دادند. بیشترین حساسیت برای انرژی های بالاتر و با افزایش زمان خورش مشاهده شد. راندمان آشکارسازی پروتون ها برای تمامی انرژی های فرودی 100% بدست آمد [12].

در سال 1995، روشی را برای تعیین پاسخ آشکارساز به ذرات آلفا در انرژی های مختلف توصیف کردند. آنها نشان دادند که برای هر انرژی فرودی، یک زاویه خاصی وجود دارد که برای زوایای بزرگتر از آن زاویه، ذرات آلفا یک ردپای خورش پذیر قابل مشاهده را ایجاد نمی کنند. این زاویه همچنین بستگی به خورش و شرایط مشاهده آشکارساز دارد. تغییرات زاویه بحرانی با انرژی ذرات فرودی، برای تعیین راندمان ثبت آشکارساز CR-39 مورد مطالعه قرار گرفت [13].

در سال 1996، تغییرات سرعت های خورش در امتداد مسیر ذرات آلفا در CR-39 را مورد مطالعه قرار دادند. از آنجا که شبیه سازی فرآیندهای شکل گیری ردپا در

آشکارسازهای ردپایی هسته‌ای خورش شده نیاز به فرمول‌بندی معیارهای ثبت ردپا، که براساس نسبت سرعت خورش کپهای به سرعت خورش استوار است، دارد. سرعت خورش کپهای با دقت کافی به وسیله تکنیک‌های نسبتاً ساده اندازه‌گیری شد. به دلیل اینکه اتلاف انرژی در انتهای برد ذرات آلفا شدیداً افزایش می‌یابد، روش تغییر قطر ردپا برای آشکارسازهای با ضخامت بیشتر با فرض اینکه سرعت خورش در امتداد مسیر ذره ثابت است، قابل استفاده نمی‌باشد. بنابراین سرعت خورش ردپا به عنوان تابعی از عمق آشکارساز و ارتباط آن با انرژی ذره به طور مستقیم اندازه‌گیری شد[14].

در 1998 یک روش اپتیکی برای اسپکتروسکوپی ذرات آلفا به وسیله H. Elsamman و M. El Hoft اندازه‌گیری چگالی اپتیکی نمونه‌های CR-39 خورش شده، که تحت تابش ذرات آلفا با انرژی‌های مختلف قرار گرفتند، ایجاد کردند. ارتباط بین چگالی اپتیکی هر ردپا، انرژی آلفا و شرایط خورش با استفاده از یک آزمایش ساده مورد مطالعه قرار گرفت. یک فرمول ساده برای محاسبه قدرت بازدارنده¹ ذرات آلفا، در آشکارساز CR-39 پیشنهاد شد[15].

در 1999، تغییرات قطر ردپایی ذرات آلفا در CR-39 به عنوان تابعی از انرژی باقیمانده و شرایط خورش بررسی کردند. اغلب برای اسپکترومتری انرژی، پیشنهاد می‌شود که قطر ردپا را در آشکارسازهای خورش شده مورد بررسی قرار دهند. برای بررسی این قضیه، ارتباط بین قطر ردپا و انرژی ذرات آلفا در گستره 1 MeV تا 5/5 MeV تابش شده بر CR-39 مورد مطالعه قرار گرفت[16].

در سال 2002 F. Malik، سرعت خورش کپهای را برای آشکارساز CR-39 با روش تغییر ضخامت مطالعه کرد. سپس مقادیر بدست آمده با این روش با روش تغییر جرم و تغییر ضخامت بررسی شد. به این نتیجه رسید که روش تغییر ضخامت در تعیین سرعت خورش کپهای، که در مورد تعداد بیشماری از نمونه‌های CR-39 به کار رفت، به خوبی روش‌های دیگر قابل استفاده می‌باشد[17].

¹ Stopping Power

در سال 2005، N. F. Santos و همکارانش ابزاری برای تعیین راندمان ثبت ذرات آلفا ارائه دادند.

آن‌ها از یک موازی‌ساز^۱ برای مشخص کردن زاویه فرود ذرات آلفا استفاده کردند. به‌طوری‌که تعداد کل ذرات آلفای گسیل شده قابل تعیین باشد. بدین ترتیب زاویه فرود بحرانی و ماکسیمم زاویه‌ای که منجر به حفره‌های دایره‌ای شکل می‌شود را بدست آوردند [18].

آخرین تحقیقات که بر روی CR-39 صورت گرفته است، بررسی تغییرات انرژی سطح CR-39 ناشی از تابش با ذرات آلفا می‌باشد. در سال 2008، K. N. Li, W. Y. Yu، به‌طور موفقیت‌آمیزی تغییرات مولفه قطبی^۲، γ_s^p ، به مولفه متفرق‌کننده^۳، γ_s^d ، را با تابش‌دهی آشکارساز ردپایی هسته‌ای حالت جامد CR-39 با ذرات آلفا، با انرژی 3 MeV، بررسی کردند. زوایای تماس را برای آب مقطر، گلیسیرین و اتیلن گلیکول بررسی کردند و به این نتیجه رسیدند که γ_s^p/γ_s^d به‌طور محسوسی با شارش ذرات آلفا تغییر می‌کند [19].

همچنین در سال 2008، E. Baradacs نشان داد که پلی آلیل دی گلیکول کربنات، ماده‌ای مناسب با مقاومت زیاد در برابر ثبت ذرات آلفا می‌باشد، که در اغلب موارد برای آشکارسازی ذرات آلفا با تابش عمودی به کار می‌رود. همچنین تأثیر خلاً و تابش CO₂ بر آشکارسازی CR-39 را بررسی کردند [20].

در سال 2008، Brahimi و همکارانش تأثیر تابش گاما بر روی سرعت خورش آشکارساز CR-39 را بررسی کردند. بدین ترتیب که نمونه‌ها را تحت خورش شیمیایی با محلول PEW، با غلظت‌های مختلف قرار دادند. نتایج نشان داد که تأثیر تابش‌های گاما بر ویژگی‌های خورش ردپا، هنگامی که غلظت اتانول در محلول خورش افزایش می‌یابد، مشخص‌تر است [21].

¹ Collimator

² Polar Component

³ Dispersive Component

بهطور کلی تحقیقات انجام شده در رابطه با گسترش ردپا شامل موارد زیر می‌باشد:

(الف) اصول اساسی ردپا (فیزیک و شیمی ردپا)، (ب) گسترش روش‌ها و ابزارهای هسته‌ای رادیومتری ردپای خورش شده برای یون‌ها، نوترون‌ها و تابش‌های کیهانی، ابزارهای نمایش رادون، رادیوگرافی و....)، (ج) علوم طبیعی (فیزیک انرژی بالا، فیزیک هسته‌ای و علوم زمین)، (د) در زیست پزشکی (حافظت اشعه، درمان سرطان)، (ه) علوم فنی (مواد، نانوتکنولوژی و تکنولوژی هسته‌ای) که هر سال حدود 350 مقاله در این زمینه‌ها به چاپ می‌رسد، که اکثر آن در زمینه تکنولوژی ردپای یونی لایه‌های نازک، نانوتکنولوژی مدرن شامل نمونه‌های بیولوژیکی و شبیه بیولوژیکی) می‌باشد.

آشکارساز مورد نظر ما برای ایجاد ردپا CR-39 می‌باشد که محدوده دینامیکی وسیعی برای آشکارسازی ذرات باردار در گستره وسیعی از مقادیر عدد اتمی، از پروتون‌های کم انرژی تا یون‌های اورانیوم نسبیتی را در بر می‌گیرد. برای ثبت یون‌های سنگین در محدوده وسیعی از اندازه حرکت، آشکارسازهای ردپای هسته‌ای مزایای زیادی نسبت به سایر آشکارسازها دارند، یک آشکارساز ردپای هسته‌ای CR-39 می‌تواند هسته‌هایی با محدوده بار تا $Z = 5e$ و حتی در ناحیه انرژی‌های نسبیتی را در بر گیرد. این آشکارساز قابلیت تفکیک فوق العاده‌ای در ثبت ذرات دارد [22].

اما باید به این نکته توجه داشت که ویژگی‌های آشکارسازی ذرات در CR-39 شدیداً بستگی به شرایط خورش شیمیابی و نحوه اندازه‌گیری‌ها دارد. برای فهم ارتباط پاسخ آشکارساز و انرژی ذرات باردار می‌بایست فرآیند ثبت ذرات در آشکارساز بهطور کامل مشخص شود. دینامیک شکل‌گیری ردپا بسیار پیچیده است و بستگی به بار و انرژی ذرات فرودی دارد. بنتون¹، مدل REL² را برای توضیح چگونگی شکل‌گیری هسته ردپای یون‌های سنگین پر انرژی و کم انرژی ارائه کرد. او از انرژی اشعه دلتا استفاده کرد که در بخش خارجی ردپا در فرایند خورش و در نتیجه شکل‌گیری ردپا شرکت نمی‌کند [23].

¹ Benton

² Restricted Energy Loss

آشکارسازهای ردپای هسته‌ای حالت جامد مانند CR-39، لگزان، ماکروفول، LR-115 و غیره به‌طور گسترده‌ای در زمینه‌های مختلف علم و صنعت مانند فیزیک هسته‌ای، اندازه‌گیری نوترون، اندازه‌گیری رادون، پیش‌بینی زمین لرزه، فیزیک تشعشعات فضا، رادیوگرافی، تحقیق در زمینه شکافت و کاربردهای اپتیکی به کار می‌روند. این آشکارسازها از فرآیندهای شیمیایی و فیزیکی بسیار متنوعی متأثر می‌شوند. فرآیندهای صنعتی، شرایط محیطی از قبیل دما، نور، رطوبت و حضور یا عدم حضور یک گاز یا محلولی خاص در محیط، پرتودهی با نور فرابنفش، اشعه گاما، پردازش با لیزر، تابش ذرات باردار و غیره در حساسیت و پاسخ‌دهی آشکارسازهای هسته‌ای حالت جامد (SSNTD) تاثیر می‌گذارند [24].